

## **КОНФЕРЕНЦИЯ ИКИ РАН 2021**

**В.Д. Егоров**

*Институт вычислительной математики им. Г.И. Марчука  
Российской академии наук*

**МЕТОД НАХОЖДЕНИЯ ЗАТЕНЕННЫХ И ЧАСТИЧНО  
ЗАТЕНЕННЫХ ПИКСЕЛОВ ДЛЯ РЕШЕНИЯ ЗАДАЧИ  
ВОССТАНОВЛЕНИЯ ОБЪЕМА БИОМАССЫ ЛЕСНОЙ  
РАСТИТЕЛЬНОСТИ ПО ДИСТАНЦИОННЫМ СПУТНИКОВЫМ  
МНОГОКАНАЛЬНЫМ И САМОЛЕТНЫМ ГИПЕРСПЕКТРАЛЬНЫМ  
ИЗОБРАЖЕНИЯМ ВЫСОКОГО ПРОСТРАНСТВЕННОГО  
РАЗРЕШЕНИЯ**

**I. РАСПОЗНАВАНИЕ ТИПОВ ЛЕСНОЙ РАСТИТЕЛЬНОСТИ ПО ДИСТАНЦИОННЫМ ДАННЫМ  
И ОСОБЕННОСТИ РАСЧЕТА ОБЪЕМА БИОМАССЫ РАСТИТЕЛЬНОСТИ ПО УХОДЯЩЕМУ  
ОТ ПОДСТИЛАЮЩЕЙ ПОВЕХНОСТИ ОТРАЖЕННОМУ ОТ НЕЕ СОЛНЕЧНОМУ ИЗЛУЧЕНИЮ**

## В работе ( Козодеров, Косолапов, 1996, ИЗК, №6 )

приведено выражение для дистанционно измеряемого функционала яркости  $L_{jk}$  неоднородного по пространству лесного элемента (области  $s_0$ ) вблизи земной поверхности

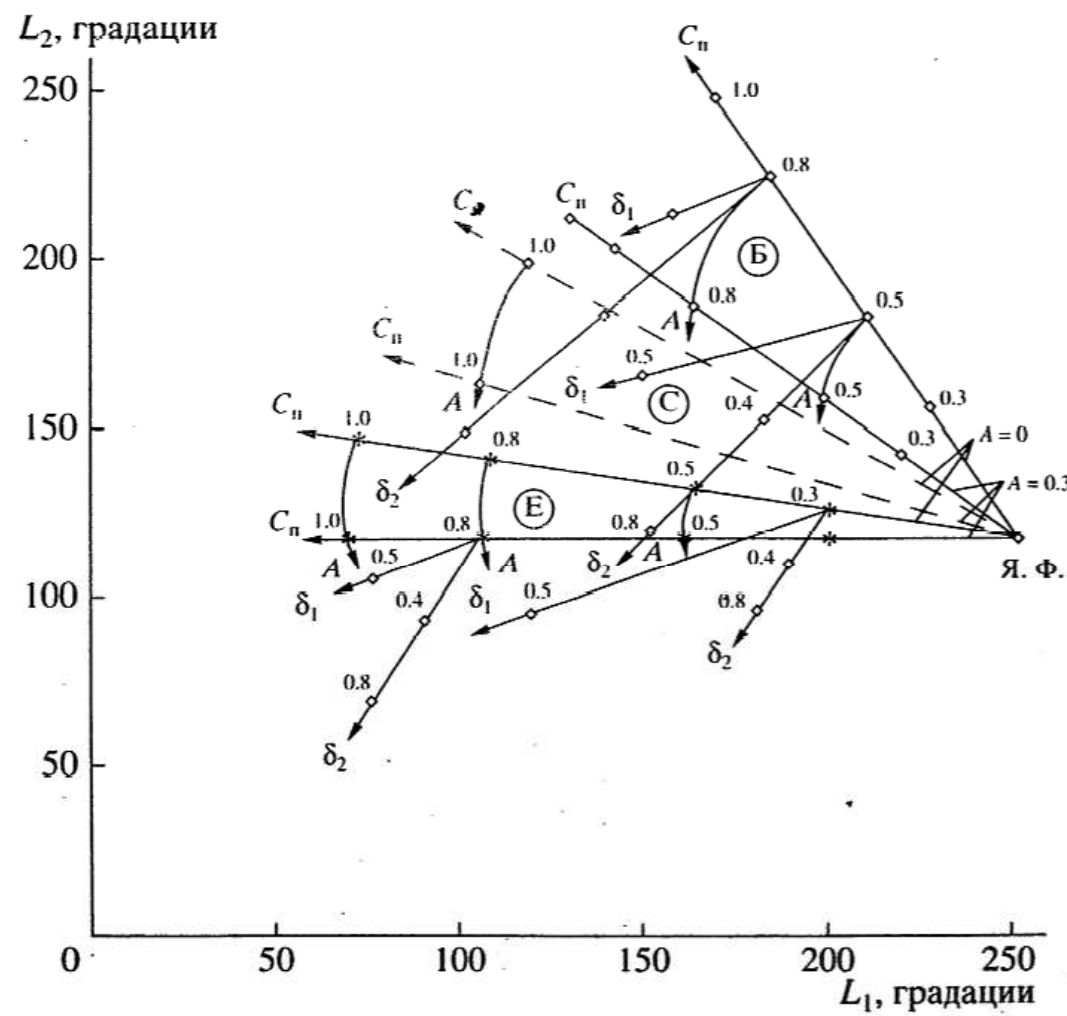
$$\begin{aligned}
 L_{jk} & \left( i, n, r, \theta, \phi, M \left( C_n, A_{kp} \right), \delta_1, \delta_2, h_0 \right) = \\
 & = \frac{1}{2\pi^2} \int_{\lambda_1}^{\lambda_2} \int_0^{\frac{\pi}{2}} \int_0^{2\pi} \left\{ U_s \left( \lambda, n, h_0, \dots \right) \left[ \left( 1 - C_n - \delta_1 \right) \rho_1 \left( \lambda, r, \theta, \theta', \phi, \phi' \right) + \right. \right. \\
 & + \left. \left. \left( C_n - C_n A_{kp} - \delta_2 \right) \cdot \rho_2 \left( \lambda, i, \theta, \theta', \phi, \phi' \right) + C_n A_{kp} \rho_3 \left( \lambda, r \right) \right] + \right. \\
 & \left. + H_s \left( \lambda, n, h_0, \dots \right) \cdot \left[ \delta_1 \rho_1 \left( \dots \right) + \delta_2 \rho_2 \left( \dots \right) \right] \right\} \cdot R_{jk} \left( \lambda, \Omega \right) \cos \left( \theta' \right) d\lambda \cdot d\theta' d\phi', \quad (1)
 \end{aligned}$$

где  $j$  – номер канала приемной аппаратуры  $k$ -го типа с полем зрения  $s_0$  и приборной функцией  $R_{jk} \left( \lambda, \Omega \right)$ ;  $\lambda$  – длина волны в  $j$ -м канале с нижним  $\lambda_1$  и верхним  $\lambda_2$  пределами;  $\Omega$  – телесный угол поля зрения;  $n$  – параметр, характеризующий тип атмосферных условий (прозрачности атмосферы);  $i$  – параметр типа (породы) лесной растительности;  $r$  – параметр типа межкроновой травянистой/кустарниковой растительности;  $M$  – плотность зеленой (листовой/хвойной) фитомассы лесных насаждений;  $h_0$  – высота Солнца;  $\theta, \phi$  – зенитный и азимутальный угол наблюдения соответственно;  $C_n = s_2/s_0$  – сомкнутость лесного полога;  $A_{kp} = s_2^*/s_2$  – ажурность крон;  $s_2^*$  – площадь внутри крон, не занятая элементами кроны – межкроновые просветы, внутри которых прямая и рассеянная солнечные радиации испытывают многократное рассеяние;  $\delta_1 = \tilde{s}_1/s_0$ ,  $\delta_2 = \tilde{s}_2/s_0$  – доли теней в межкроновых областях и на кронах деревьев соответственно;  $s_1, s_2$  – межкроновая и кроновая площади в поле зрения  $s_0$  ( $s_1 + s_2 = s_0$ ) соответственно;  $\tilde{s}_1, \tilde{s}_2$  – части межкроновой и кроновой площадей, покрытые тенью;  $\rho_1, \rho_2, \rho_3$  – спектральные коэффициенты отражения (в общем случае – индикатрисы рассеяния) межкроновой травянистой/кустарниковой области, кроновой области и многократного рассеяния внутрикроновых просветов;  $\theta', \phi'$  – зенитный и азимутальный углы падающей прямой ( $U_s$ ) и рассеянной ( $H_s$ ) радиаций.

В работе ( Козодеров, Косолапов, 1999, ИЗК №1 ) приведены результаты расчета функционала яркости при различных входных параметрах с акцентом на влияние затененных участков на результаты расчета.

На рис. 1 приведены результаты численных расчетов значений яркости  $L_{jk}$  по модели 1 для

трех типов лесных сообществ: березового, елового и смешанного (по 50% ели и березы) лесов в виде областей максимально возможных значений  $L_{jk}$  при различных значениях параметров  $C_n$  и  $A_{kr}$  и при  $\delta_{1,2} = 0$  в области визирования (мгновенном поле зрения) аппаратуры  $S_0$ . Показаны также возможные “смещения” расчетных значений яркости в сторону пониженных значений при возможном появлении теней вдоль соответствующих координатных осей. Видно, что начало координат осей (длина каждой из рассматриваемых осей отражает абсолютную величину изменчивости  $L_{jk}$ ) сомкнутости ( $C_n = 0$ ) едино для всех лесных групп (пород) и соответствует яркости определенного травянисто-кустарникового фона (на рисунке обозначено через Я.Ф.).



**Рис. 1.** Результаты численных расчетов значений яркости по модели 1 для двух каналов и трех типов лесных сообществ: березовый лес (Б) (границы бесстеневых областей и координатные оси основных параметров –  $C_n$ ,  $A_{kp}$ ,  $\delta_1$ ,  $\delta_2$  нанесены сплошными линиями); смешанный (С) хвойно-лиственный лес (вышеуказанные границы и оси нанесены крупным пунктиром); еловый лес (Е) (границы областей и оси нанесены сплошными линиями со звездочками).

Таким образом, из рис. 1 можно видеть, что если бестеневые области рассматриваемых трех лесных групп пространственно разнесены (локализованы) в плоскости  $L_1, L_2$ , то появление теней  $\delta_{1,2}$  приводит к существенному расширению этих областей для каждой группы и взаимоналожению соответствующих данных не только разных групп, но и отдельных семейств ( $\delta_1, \delta_2$ ) внутри каждой группы, поэтому требуется корректный учёт влияния теней на  $L_{jk}$ , а следовательно, и на результаты восстановления плотности зеленой фитомассы лесных деревьев  $M$ .

**II. НАХОЖДЕНИЕ ЗАТЕНЕННЫХ ПИКСЕЛОВ НА ГИПЕРСПЕКТРАЛЬНЫХ САМОЛЕТНЫХ  
ИЗОБРАЖЕНИЯХ С ИСПОЛЬЗОВАНИЕМ ДИАГРАММ "СРЕДНЯЯ ИНТЕГРАЛЬНАЯ ЯРКОСТЬ -  
СРЕДНИЙ ПАРАМЕТР СМЕЩЕНИЯ"**

|

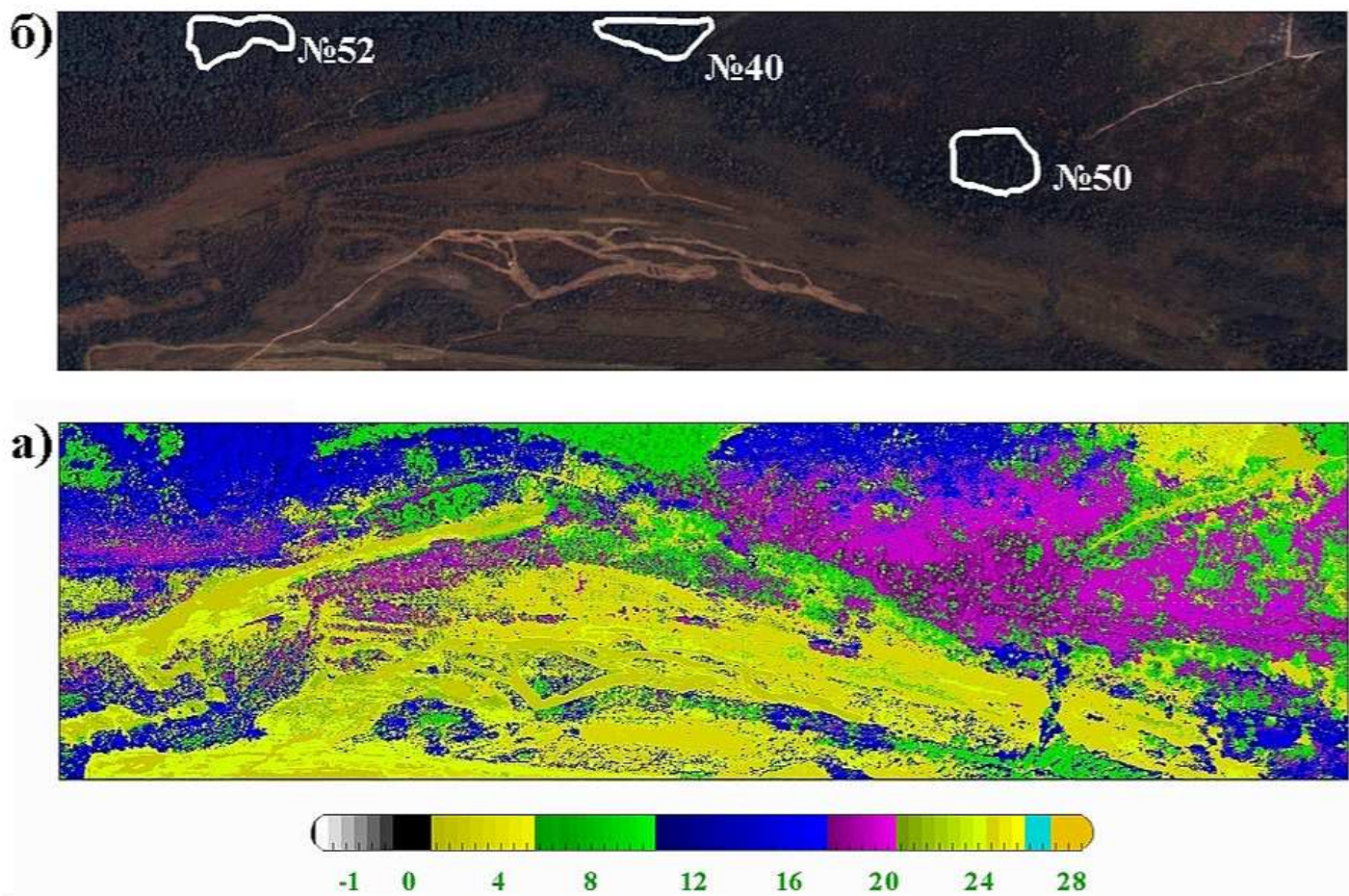


Рис. 2. а) Результаты расчета распознавания типов лесной растительности (2018 г.) методом QDA по гиперспектральным самолетным данным на одном из фрагментов трека Тг\_11\_04\_17. Обучение по березовой, сосновой и еловой растительности классификатора проводилось по эталонным участкам №52, №40 и №50, соответственно, представленным на RGB изображении этого фрагмента б).

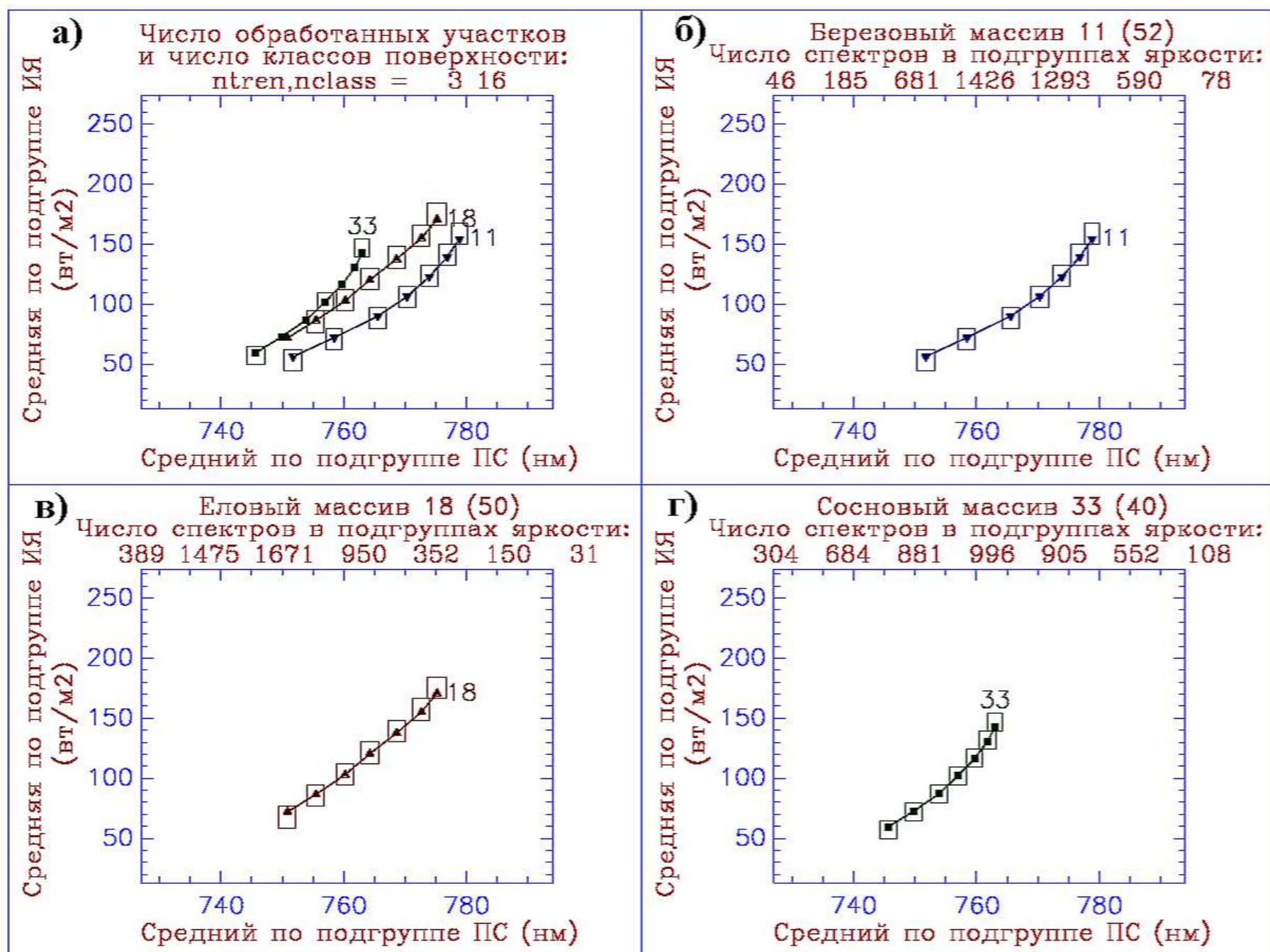


Рис. 3. б), в), г) представляют рассчитанные диаграммы "средняя интегральная яркость - средний параметр смещения" по массивам спектров с участков №52 (береза), №50 (ель) и №40 (сосна) рис. 2 б) соответственно, в то время как а) представляет наложение этих диаграмм.

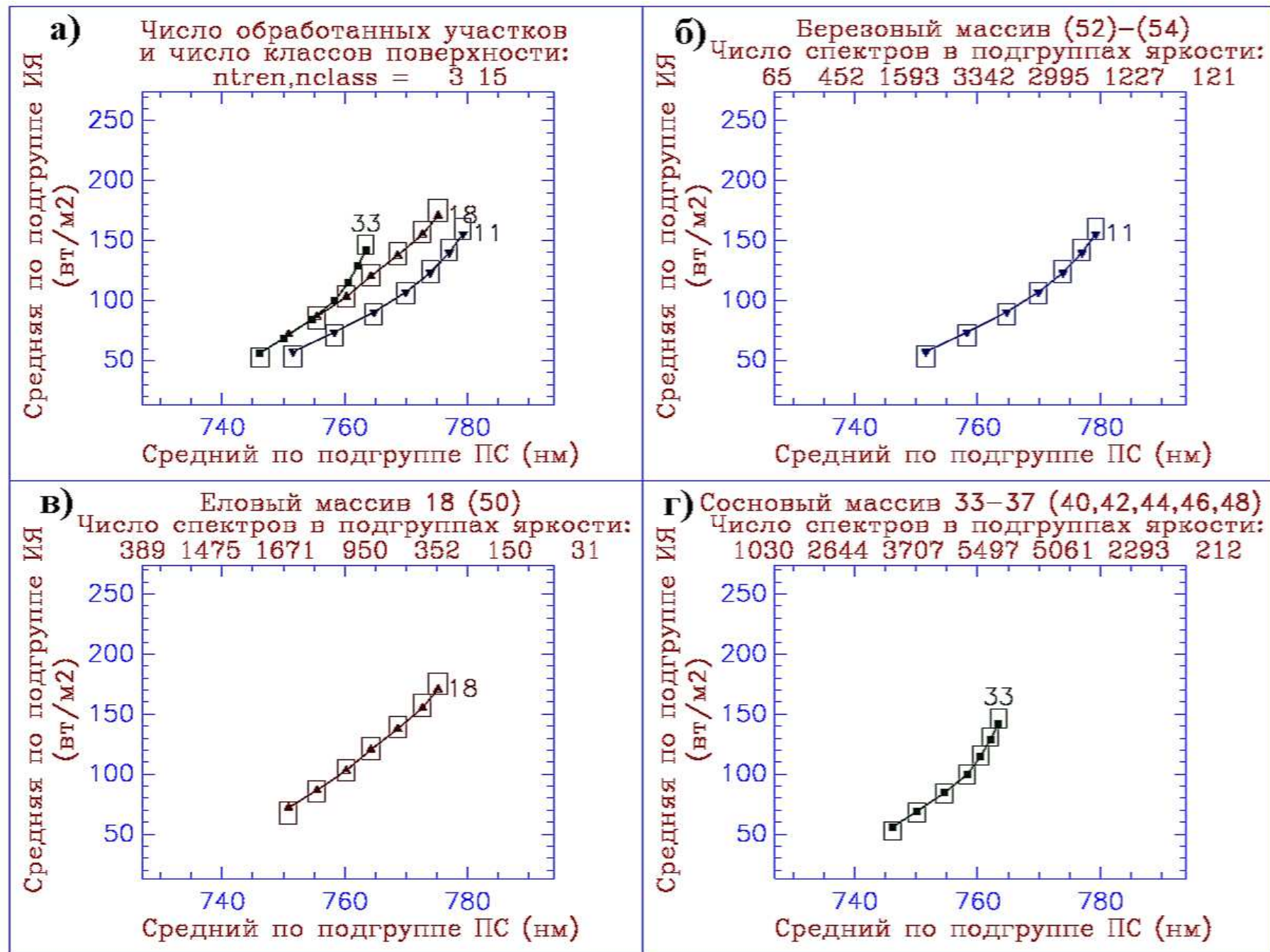
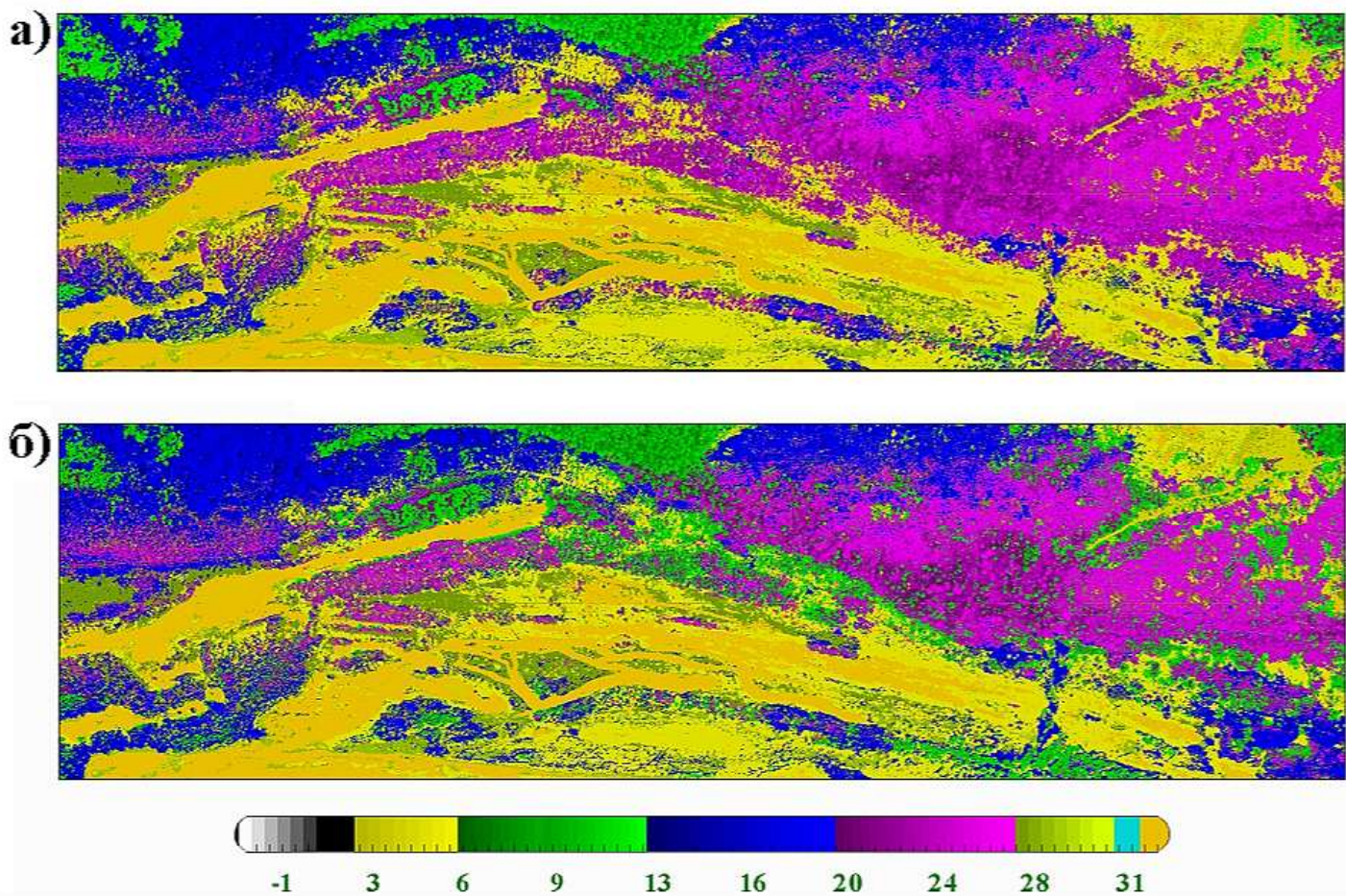


Рис. 4. б), в), г) представляют рассчитанные диаграммы "средняя интегральная яркость - средний параметр смещения" по расширенным массивам спектров с участков № 52, 54 (береза), № 50 (ель) и № 40, 42, 44, 46, 48 (сосна) соответственно, в то время как а) представляет наложение этих диаграмм (добавлены пять эталонных участков с соседнего фрагмента этого же трека).

**III. ПОСТРОЕНИЕ БАЗ ДАННЫХ И ОСУЩЕСТВЛЕНИЕ РАСЧЕТОВ ПО РАСПОЗНАВАНИЮ  
ТИПОВ ЛЕСНОЙ РАСТИТЕЛЬНОСТИ ПО 32 КЛАССАМ, ИЗ КОТОРЫХ ПО 7 КЛАССОВ  
ПРИХОДИТСЯ НА СОСНОВУЮ РАСТИТЕЛЬНОСТЬ, БЕРЕЗОВУЮ РАСТИТЕЛЬНОСТЬ И ЕЛОВУЮ  
РАСТИТЕЛЬНОСТЬ, ПРИЧЕМ ПЕРВЫЕ ТРИ КЛАССА В КАЖДОМ СЛУЧАЕ - ЭТО ЗАТЕНЕННЫЕ  
И ЧАСТИЧНО ЗАТЕНЕННЫЕ ПИКСЕЛЫ**



**Рис. 5. Результаты расчетов распознавания типов лесной растительности по 32 введенным классам по модели QDA:**  
**а) обучение классификатора по сосновой, березовой и еловой растительности проводилось по выбранным эталонным участкам, описанным на рис. 3; б) обучение классификатора по сосновой, березовой и еловой растительности проводилось по выбранным эталонным участкам, описанным на рис. 4.**

б)



а)

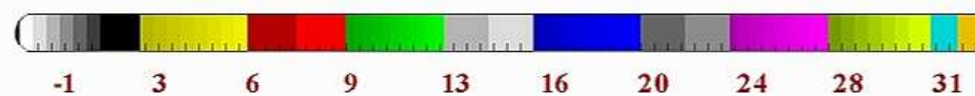
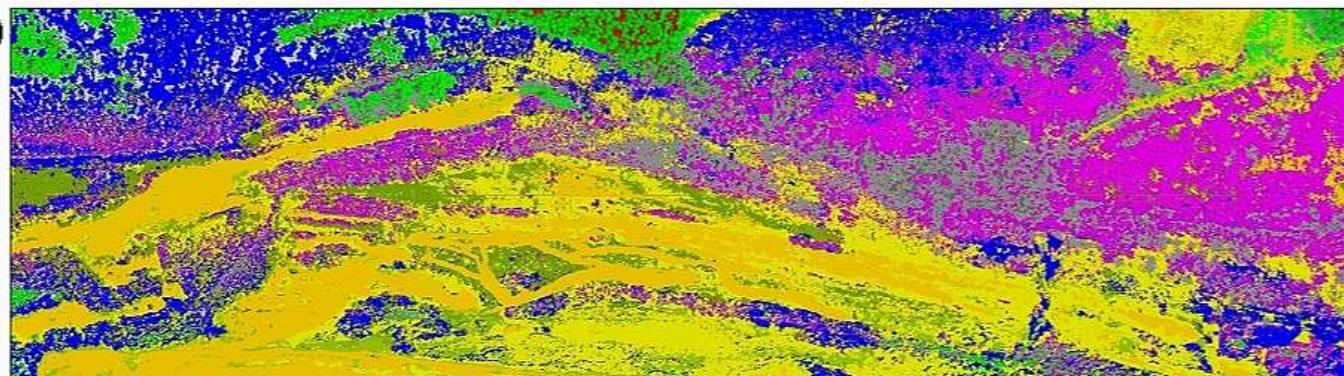


Рис. 6. а) Результат расчета распознавания типов лесной растительности по 32 введенным классам по модели QDA: обучение классификатора соответствует случаю рис. 5 а). По сосновой, березовой и еловой растительности введены классы затененных и частично затененных пикселов, обозначенные для сосновой растительности тонами красного цвета, а для березовой и еловый растительности - тонами серого цвета;  
б) RGB - изображение этого фрагмента самолетного трека.

## **ВЫВОДЫ**

- а) Как показано ранее (Козодеров, Косолапов, 1996, 1999) при расчете объема биомассы и других параметров состояния подстилающей поверхности по разработанным моделям высокого пространственного разрешения 5 -10 м на пикел и возможно большего разрешения особое значение приобретает знание расположения затененных и частично затененных пикселов дистанционно полученных изображений, что может определить точность и качество этого расчета.**
- б) В настоящей работе предлагается определять затененные и частично затененные пиксели на гиперспектральных изображениях с использованием введенных ранее диаграмм "средняя интегральная яркость - средний параметр смещения" для спектров с тех или иных участков поверхности, представляющих интерес и осуществления расчетов распознавания классов (в том числе с затененных и частично затененных участков) лесной растительности по одной из имеющихся моделей.**
- в) Осуществленные расчеты показали хорошую работоспособность предлагаемого подхода и высокую точность нахождения затененных и частично затененных пикселов на имеющихся гиперспектральных изображениях земной поверхности.**